

УДК 539.3.01

**ДЕФОРМАЦИЯ УПРУГОЙ СЛОИСТОЙ ПЛОСКОСТИ,
ОСЛАБЛЕННОЙ ДВОЯКОПЕРИОДИЧЕСКОЙ СИСТЕМОЙ ЩЕЛЕЙ**

НАХМЕЙН Е. Л., НУЛЛЕР Б. М.

(Ленинград)

В [1—4] построение и использование систем кусочно-однородных решений, со-
сращенно P -систем, базировалось на теории однородных решений и методе Вине-
ра — Хопфа. Такие P -системы предназначены для решения смешанных задач с точ-
ками раздела типов условий на продольных гранях полубесконечных и конечных
упругих областей.

Ниже построена P -система, при помощи которой можно решать разнообразные
периодические и двоякопериодические задачи для многослойной полосы, полуплос-
кости и плоскости со смешанными условиями «поперечного» типа и произвольным
числом точек раздела в периоде. Вместо метода Винера — Хопфа применяется метод
Мухелишвили; как и раньше, задачи сводятся к системам Пуанкаре — Коха, имею-
щим экспоненциально убывающие по номеру строки и столбца матричные элементы.

Как пример рассматривается задача о слоистой плоскости с двоякопериодиче-
ской системой прямолинейных щелей, находящихся на линиях склейки материалов.
Подобные задачи для однородной (неслоистой) плоскости обычно решают при по-
мощи эллиптических функций, получая сингулярные интегральные уравнения
[5, 6], уравнения Фредгольма [7], квазирегулярные системы алгебраических урав-
нений [8]. В данной работе используется иная идея, связанная с разбиением плос-
кости не на параллелограммы, а на сдвинутые один относительно другого прямо-
угольники. Решение в прямоугольнике периодов ищется в рядах по элементам P -си-
стем; на сопряжение решений в соседних прямоугольниках сдвиг почти не влияет.

1. Построим P -систему задачи об упругой плоскости, составленной из
двух полуплоскостей с разными упругими характеристиками и ослабленной
вдоль линии склейки периодической с периодом 2π системой щелей.
Совместим ось x плоскости $z=x+iy$ с линией сопряжения полуплоскостей.
Пусть N — число щелей в периоде, L_1 — совокупность интервалов (a_k, b_k) ,
занимаемых щелями, $-\pi \leq a_1 < b_1 < a_2 < \dots < b_N < \pi$, L_2 — дополнение L_1 до
отрезка $[-\pi, \pi]$.

P -система данной задачи определяется однородными условиями

$$(\sigma_y - i\tau_{xy})(x, \pm 0) = 0, \quad x \in L_1 \quad (1.1)$$

$$(\sigma_y - i\tau_{xy})(x, +0) - (\sigma_y - i\tau_{xy})(x, -0) = 0, \quad x \in L_2 \quad (1.2)$$

$$(u + iv)(x, +0) - (u + iv)(x, -0) = 0, \quad x \in L_2$$

Условия (1.1), (1.2) периодически с периодом 2π продолжены на всю
действительную ось.

Каждый элемент P -системы будем искать в виде суммы периодических
функций

$$(u + iv)_k(x, y) = (u + iv)_{k1}(x, y) + (u + iv)_{k2}(x, y) \quad (k = \pm 1, \pm 2, \dots) \quad (1.3)$$

Первое слагаемое (1.3) в верхней (нижней) полуплоскости, определяе-
мой индексом $j=1$ ($j=2$), при $k \geq 1$ ($k \leq -1$) составим из однородных
решений для полосы $-\pi \leq x \leq \pi$, $-\infty < y < \infty$, удовлетворяющих условиям
 $u = \tau_{xy} = 0$ и $v = \sigma_x = 0$ на гранях $x = \pm \pi$ и имеющих особенности в верхней

(нижней) полуплоскости [9]

$$\begin{aligned} 2\mu_j(u+iv)_{h1} &= -ik^{-1}e^{ky} \{e^{ihx}(T_{h1}+2ky\bar{T}_{h2}) - \kappa_j T_{h2}e^{-ihx}\} \\ (\sigma_y - i\tau_{xy})_{h1} &= e^{ky} \{e^{ihx}(T_{h1}+2ky\bar{T}_{h2}) - T_{h2}e^{-ihx}\} \end{aligned} \quad (1.4)$$

где T_{hs} — произвольные комплексные постоянные, $\kappa_j = 3 - 4\nu_j$ или $\kappa_j = (3 - \nu_j)(1 + \nu_j)^{-1}$, ν_j и μ_j — коэффициенты Пуассона и модули сдвига. Первое слагаемое (1.3) в нижней (верхней) полуплоскости при $k \geq 1$ ($k \leq -1$) положим равным нулю.

Чтобы в решении (1.4) устранить ненулевые напряжения на щелях и разрывы в перемещениях и напряжениях на их продолжении, добавим к (1.4) решение следующей периодической задачи для рассматриваемой неоднородной плоскости:

$$\begin{aligned} (\sigma_y - i\tau_{xy})_{h2}(x, \pm 0) &= f_h^\pm(x), \quad x \in L_1 \\ (\sigma_y - i\tau_{xy})_{h2}(x, +0) - (\sigma_y - i\tau_{xy})_{h2}(x, -0) &= S_h(x), \quad x \in L_2 \\ (u+iv)_{h2}(x, +0) - (u+iv)_{h2}(x, -0) &= g_h(x), \quad x \in L_2 \end{aligned} \quad (1.5)$$

$$\begin{aligned} f_h^+(x) &= S_h(x) = -(\sigma_y - i\tau_{xy})_{h1}(x, 0) \\ f_h^-(x) &= 0, \quad g_h(x) = -(u+iv)_{h1}(x, 0) \quad \text{при } k \geq 1 \\ f_h^-(x) &= -S_h(x) = -(\sigma_y - i\tau_{xy})_{h1}(x, 0) \\ f_h^+(x) &= 0, \quad g_h(x) = (u+iv)_{h1}(x, 0) \quad \text{при } k \leq -1 \end{aligned} \quad (1.6)$$

Задача (1.5) рассмотрена в [10]. Ее решение имеет вид

$$\begin{aligned} \sigma_x + \sigma_y &= 4 \operatorname{Re} [c_j K(z) + c_{j+2} \overline{M(z)}] \quad (j=1, 2) \\ \sigma_y - i\tau_{xy} &= c_j [K(z) + (z - \bar{z}) \overline{K'(z)}] + \delta_j K(\bar{z}) + \\ &+ c_{j+2} [M(z) - \overline{M(\bar{z})} + (z - \bar{z}) \overline{M'(z)}] \\ 2\mu_j \frac{\partial}{\partial x} (u+iv) &= c_j [\kappa_j K(z) - (z - \bar{z}) \overline{K'(z)}] + \\ &+ \delta_j K(\bar{z}) + c_{j+2} [\kappa_j M(z) + \overline{M(\bar{z})} - (z - \bar{z}) \overline{M'(z)}] \\ \delta_1 &= c_2, \quad \delta_2 = c_1, \quad c_1 = (\kappa_1 + m)^{-1}, \quad c_2 = (1 + m\kappa_2)^{-1} \\ c_3 &= m(1 + \kappa_2), \quad c_4 = 1 + \kappa_1, \quad m = \mu_1 \mu_2^{-1} \end{aligned} \quad (1.7)$$

Периодические функции $K(z)$ и $M(z)$, регулярные во всей комплексной плоскости, кроме, может быть, действительной оси, определяются из краевых задач Римана

$$M^+(x) = M^-(x) + m(x), \quad x \in [-\pi, \pi] \quad (1.8)$$

$$K^+(x) = G(x)K^-(x) + k(x), \quad x \in [-\pi, \pi] \quad (1.9)$$

$$\begin{aligned} G(x) &= g, \quad k(x) = \Delta c_1^{-1} [c_4 f_h^+(x) + c_3 f_h^-(x)] \\ m(x) &= \Delta [f_h^+(x) - f_h^-(x)] \quad \text{при } x \in L_1; \quad G(x) = 1, \quad m(x) = \Delta S_h(x), \\ k(x) &= 2\mu_1 g_h'(x) - m\Delta(\kappa_1 \kappa_2 - 1) S_h(x) \quad \text{при } x \in L_2 \\ \Delta^{-1} &= c_3 + c_4, \quad g = -c_1^{-1} c_2 \end{aligned}$$

Учитывая (1.6), после элементарных преобразований получим

$$\begin{aligned} m(x) &= \Delta (T_{h1} e^{ihx} - T_{h2} e^{-ihx}) \operatorname{sign} k, \quad x \in [-\pi, \pi] \\ k(x) &= \Delta c_1^{-1} \varepsilon_h (-1)^{s+1} (g_{hs} T_{h1} e^{ihx} - T_{h2} e^{-ihx}), \quad x \in L_s \\ \varepsilon_h &= c_4, \quad g_{h2} = g^{-1} \quad \text{при } k \geq 1; \quad \varepsilon_h = c_3, \quad g_{h2} = g \quad \text{при } k \leq -1; \\ g_{h1} &= 1 \quad (h = \pm 1, \pm 2, \dots; s = 1, 2) \end{aligned} \quad (1.10)$$

Вследствие самоуравновешенности приложенных нагрузок функции $K(z)$ и $M(z)$ на бесконечности обращаются в нуль.

Решения краевых задач (1.8)–(1.10), построенные на основе теории краевых задач для автоморфных функций [11], запишем в виде [9]

$$M(z) = T_{ks} e^{i\sigma z}, \quad \sigma = \text{sign}(ky), \quad s = 1/2(3 + \sigma) \quad (1.11)$$

$$K(z) = \frac{X(z)}{4\pi i} \int_{-\pi}^{\pi} \frac{k(t)}{X^+(t)} H(t, z) dt + X(z) \Psi_k(z)$$

$$X(z) = \prod_{n=1}^N \left(\sin \frac{z-a_n}{2} \right)^{-1/2+i\gamma} \left(\sin \frac{z-b_n}{2} \right)^{-1/2-i\gamma}, \quad \gamma = \frac{\ln(-g)}{2\pi}$$

где для четного и нечетного N соответственно имеем

$$\Psi_k(z) = \sum_{n=1}^{1/2(N-1)} \left\{ C_{kn}^{-1} \cos \left[\left(n - \frac{1}{2} \right) z - \delta \right] + C_{kn}^2 \sin \left[\left(n - \frac{1}{2} \right) z - \delta \right] \right\}$$

$$H(t, z) = \left(\sin \frac{t-z}{2} \right)^{-1}$$

$$\Psi_k(z) = \sum_{n=1}^{1/2 N-1} \left\{ C_{kn}^{-1} \cos(nz - \delta) + C_{kn}^2 \sin(nz - \delta) \right\} + C_{k0}$$

$$H(t, z) = \text{ctg} \frac{t-z}{2}, \quad \delta = \frac{i}{2} \sum_{n=1}^N \left[\gamma(b_n - a_n) - \frac{i}{2}(a_n + b_n) \right]$$

Выбранная ветвь канонического решения $X(z)$ задачи (1.9) определяется асимптотикой

$$X(z) = (\mp 2i)^N \exp(\pm 1/2 Niz \mp i\delta) + O\{\exp[\pm 1/2 iz(N-1)]\}, \quad z \rightarrow \pm i\infty \quad (1.12)$$

Комплексные постоянные C_{kn}^i удовлетворяют системе уравнений

$$\int_{a_n}^{b_n} \frac{\partial}{\partial x} [(u+iv)(x, +0) - (u+iv)(x, -0)] dx = g_k(b_n) - g_k(a_n) \quad (n=1, \dots, N-1)$$

Напряжения на действительной оси в задаче (1.5) согласно (1.7) можно записать в форме ($t=1, 2$):

$$(\sigma_y - i\tau_{xy})_{k2}(x, \pm 0) = \varepsilon_k(t-1) X^+(x) \sum_{s=1}^2 T_{ks} P_{ks}(x) + f_k^{\pm}(x), \quad x \in L_t \quad (1.14)$$

где $P_{ks}(x)$ — известные функции, $X^+(x) = X^-(x)$ на L_2 .

Отсюда и из (1.3) следует, что на линии раздела сред вне щелей

$$(\sigma_y - i\tau_{xy})_k(x, 0) = \varepsilon_k X^+(x) \sum_{s=1}^2 T_{ks} P_{ks}(x), \quad x \in L_2 \quad (1.15)$$

У концов щелей напряжения имеют осциллирующие особенности

$$(\sigma_y - i\tau_{xy})_k = (K_1 - iK_2) |x - d_n|^{-1/2+i\gamma}, \quad x \rightarrow d_n \mp 0 \quad (n=1, \dots, N) \quad (1.16)$$

где верхние знаки берутся при $d_n = a_n$, нижние — при $d_n = b_n$.

В качестве нулевого элемента P -системы возьмем решение периодической задачи для разнородной плоскости при заданном распределении напряжений $f_0^\pm(x)$ на берегах щелей и на бесконечности [10].

Это решение определяется граничными условиями на щелях

$$(\sigma_y - i\tau_{xy})(x, \pm 0) = f_0^\pm(x), \quad x \in L_1 \quad (1.17)$$

и условиями непрерывности (1.2). Оно выражается формулами (1.7), в которых следует положить

$$K(z) = \frac{X(z)}{4\pi i} \int_{L_1} \frac{k(t)}{X^+(t)} H(t, z) dt + X(z) \Psi_0(z) \quad (1.18)$$

$$M(z) = \frac{1}{2\pi} \int_{L_1} \frac{m(t) e^{it} dt}{e^{it} - e^{iz}} + C$$

$$\Psi_0(z) = \sum_{n=1}^{1/2 N} \{C_{n1} \cos(nz - \delta) + C_{n2} \sin(nz - \delta)\} + C_{01} \quad (N - \text{четное})$$

$$\Psi_0(z) = \sum_{n=1}^{1/2(N+1)} \left\{ C_{n1} \cos \left[\left(n - \frac{1}{2} \right) z - \delta \right] + C_{n2} \sin \left[\left(n - \frac{1}{2} \right) z - \delta \right] \right\} \quad (N - \text{нечетное})$$

$$k(x) = \Delta c_1^{-1} [c_2 f_0^+(x) + c_3 f_0^-(x)], \quad m(x) = \Delta [f_0^+(x) - f_0^-(x)]$$

Функции $f_0^\pm(x)$ должны удовлетворять условию Гельдера на L_1 , $N+2$ комплексных постоянных C , C_{n1} , C_{n2} определяются по условию однозначности перемещений [12] и по заданным на бесконечности в одной из полуплоскостей, например в верхней, напряжениям σ_y^∞ , σ_x^∞ , τ_{xy}^∞ и вращению ε^∞ . Задание двух последних величин эквивалентно условию периодичности (квазипериодичности) перемещений.

Отметим, что интегралы, входящие в формулы (1.11), всегда вычисляются в элементарных функциях. Для этого используется переход от интегрирования по отрезкам прямой к интегрированию по замкнутым контурам, охватывающим дуги окружностей [13, 9]. То же самое относится и к решению (1.18), если граничные функции $f_0^\pm(x)$ представлены тригонометрическими полиномами. Например, в случае одной щели в периоде ($a_1 = -a$, $b_1 = a$) формулы (1.11) принимают вид

$$K(z) = \varepsilon_k (1-g)^{-1} \left\{ g^t T_{hs} e^{ih\sigma z} + X(z) \sum_{\alpha=1}^2 T_{h\alpha} P_{h\alpha}(z) \right\} \quad (1.19)$$

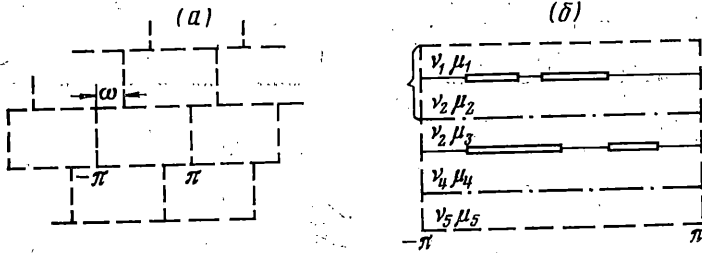
$$\sigma = \text{sign}(ky), \quad s = 1/2(3+\sigma), \quad t = 1/2(1 - \text{sign } y) \quad (h = \pm 1, \pm 2, \dots)$$

$$P_{h1}(z) = -P_{-h2}(z) = \frac{e^{a\tau}}{2i} \sum_{p=0}^h (-1)^p D_p(e^{ia}) \exp \left[i \left(k-p + \frac{1}{2} \right) z \right]$$

$$P_{h2}(z) = -P_{-h1}(z) = \frac{g e^{-a\tau}}{2i} \sum_{p=0}^h (-1)^p D_p(e^{-ia}) \exp \left[i \left(p-k - \frac{1}{2} \right) z \right] \quad (h=1, 2, \dots)$$

$$D_p(\alpha) = \sum_{n=0}^p C_1^n C_2^{p-n} \alpha^{p-2n}, \quad C_j^n = \gamma_j(\gamma_j-1) \dots (\gamma_j-n+1)$$

$$\gamma_1 = 1/2 - i\gamma, \quad \gamma_2 = \bar{\gamma}_1$$



Если берега разреза не нагружены ($f_0^\pm(x) = 0$), то в (1.18)

$$C_{11} = 0, \quad C_{12} = (\sigma_y^\infty - i\tau_{xy}^\infty) (c_1 + c_2)^{-1} \quad (1.20)$$

$$\operatorname{Re} C = \frac{1}{4c_3} \left(\sigma_x^\infty + \sigma_y^\infty \frac{c_2 - 3c_1}{c_1 + c_2} \right), \quad \operatorname{Im} C = \frac{2\mu_4 \varepsilon^\infty}{c_3 c_4} - \frac{c_1 \tau_{xy}^\infty}{c_3 (c_1 + c_2)}$$

Разложим кусочно-однородные решения (1.3), (1.4), (1.11) в ряды по однородным решениям. Так как общее решение периодической задачи для составной плоскости в силу полноты системы тригонометрических функций можно записать в виде рядов по однородным решениям, то решение задачи (1.5), (1.6) представимо в форме

$$(u+iv)_{k2} = \sum_{t=0}^{\infty} (u+iv)_k^n, \quad n = (-1)^j t \quad (1.21)$$

$$2\mu_j (u+iv)_k^0 = R_{k1}^{0j} x + R_{k2}^{0j} y + R_{k3}^{0j}$$

$$2\mu_j (u+iv)_k^n = in^{-1} e^{-ny} \{ e^{-inx} (R_{k1}^{nj} - 2ny \bar{R}_{k2}^{nj}) - \kappa_j e^{inx} R_{k2}^{nj} \} \quad (n \neq 0)$$

где R_{ks}^{nj} — произвольные комплексные постоянные.

По теореме единственности Кирхгофа значения напряжений в решении (1.21) задачи (1.5), (1.6) при $y=0$ совпадают с решением (1.14). Приравнивая в этих решениях компоненты вектора напряжений во всем промежутке $[-\pi, \pi]$ и учитывая ортогональность тригонометрических функций, найдем значения коэффициентов R_{ks}^{nj} .

Опуская промежуточные выкладки, выпишем полученные разложения на прямых, параллельных действительной оси $y=l_j$ ($j=1, 2$; $l_1 > 0$, $l_2 < 0$; $k=\pm 1, \pm 2, \dots$)

$$2\mu_j \frac{\partial}{\partial x} (u+iv)_k(x, l_j) = \eta_{\pm k} \{ e^{ikx} [(T_{k1} + 2kl_j \bar{T}_{k2}) e^{kl_j} + \kappa_j T_{k1} e^{-kl_j}] + e^{-ikx} [\kappa_j T_{k2} e^{kl_j} + (T_{k2} - 2kl_j \bar{T}_{k1}) e^{-kl_j}] \} + \quad (1.22)$$

$$+ \sum_{s=1}^2 \left\{ T_{ks} \sum_{n=1}^{\infty} e^{\mp nl_j} (\kappa_j e^{\pm inx} P_{ks}^{n\mp} - e^{\mp inx} P_{ks}^{n\pm}) \mp \right.$$

$$\left. \mp 2l_j \bar{T}_{ks} \sum_{n=1}^{\infty} n e^{\mp nl_j} e^{\mp inx} \bar{P}_{ks}^{n\pm} \right\}, \quad P_{ks}^{n\pm} = \frac{\varepsilon_k}{4\pi i} \int_{L_2} P_{ks}(x) X^+(x) e^{\pm inx} dx$$

$$x \in [-\pi, \pi], \quad \eta_r = 1 \text{ при } r > 1, \quad \eta_r = 0 \text{ при } r < 0$$

где верхние знаки берутся при $j=1$, нижние — при $j=2$.

В случае одной щели согласно (1.19)

$$P_{k1}^{n\pm} = -\varepsilon_k e^{a\gamma} \sum_{p=0}^k (-1)^p D_p(e^{ia}) J_{k-p\pm n} \quad (1.23)$$

$$P_{k2}^{n\pm} = g\varepsilon_k e^{-a\gamma} \sum_{p=0}^k (-1)^p D_p(e^{-ia}) J_{-k-p-1\pm n}, \quad J_k = \frac{1}{4\pi i} \int_{L_2} X^+(x) e^{i(k+1/2)x} dx$$

Разложение решения (1.18) проводится аналогично. Запишем его в форме

$$2\mu_j \frac{\partial}{\partial x} (u+iv)_0(x, l_j) = R_{01}^j + \sum_{k=1}^{\infty} (e^{ikh} Q_{kj}^+ + e^{-ikh} Q_{kj}^-) \quad (R_{01}^2 = R_{01}^1 m) \quad (1.24)$$

$$(\sigma_y - i\tau_{xy})_0(x, l_j) = \frac{1}{2\pi} (Y_j - iX_j) + \sum_{k=1}^{\infty} (e^{ikh} Z_{kj}^+ + e^{-ikh} Z_{kj}^-)$$

Здесь постоянная R_{01}^1 характеризует периодичность (квазипериодичность) перемещений по x ; (X_j, Y_j) — главный вектор усилий, приложенных в полосе периодов при $y \rightarrow \infty$ ($j=1$) и $y \rightarrow -\infty$ ($j=2$). Значения коэффициентов Q_{kj}^{\pm} , Z_{kj}^{\pm} нетрудно получить для каждого конкретного распределения нагрузок.

Например, если $N=1$, $a_1 = -a$, $b_1 = a$, $f_0^{\pm}(x) = 0$, при заданных напряжениях на бесконечности, с учетом (1.20) получим

$$\begin{aligned} R_{01}^1 &= (c_1 \kappa_1 - c_2) C_{12} + c_3 c_4 C & (1.25) \\ Q_{k1} &= C_0 (e^{-a\gamma} J_{k-1} + 2kl_1 e^{a\gamma} \bar{J}_{-k}) e^{-kl_1}, & Q_{k1}^+ &= C_0 \kappa_1 e^{a\gamma} J_{-k} e^{-kl_1} \\ Q_{k2}^+ &= -C_0 (e^{-a\gamma} J_{-k-1} - 2kl_2 e^{a\gamma} \bar{J}_k) e^{kl_2}, & Q_{k2}^- &= C_0 \kappa_2 e^{a\gamma} J_k e^{kl_2} \\ Z_{k1}^+ &= C_0 e^{a\gamma} J_{-k} e^{-kl_1}, & Z_{k1}^- &= -C_0 e^{-a\gamma} J_{k-1} e^{-kl_1} \\ Z_{k2}^+ &= -C_0 e^{-a\gamma} J_{-k-1} e^{kl_2}, & Z_{k2}^- &= C_0 e^{a\gamma} J_k e^{kl_2}, \quad C_0 = -1/2 (c_1 + c_2) C_{12} \end{aligned}$$

2. Построенная P -система предназначена для решения разнообразных задач о периодических и двоякопериодических системах коллинеарных щелей, ослабляющих многослойную полосу, полуплоскость или плоскость. На границах этих областей можно задавать произвольные основные условия, на линиях контакта материалов — условия полного сцепления, проскальзывания или предельного трения; допустимы также условия подкрепления границ стрингерами, балками, винклеровским слоем. Методика нахождения коэффициентов в рядах по элементам P -систем, как известно, основывается на соотношениях ортогональности. Хотя число типов таких соотношений за последнее время увеличилось [4, 14] и в решения некоторых периодических задач [9, 10] P -системы неявно входили, до сих пор уругие области склеивались только торец в торец, без сдвига. Это позволяло решать, в частности, двоякопериодические задачи лишь в тех случаях, когда параллелограммом периодов был прямоугольник.

Ниже рассматривается задача с произвольным многослойным параллелограммом периодов. При этом плоскость разбивается не как обычно на параллелограммы, а на сдвинутые один относительно другого с постоянным шагом ω слои прямоугольников (фигура, а). Прямоугольник периодов (фигура, б) в свою очередь разбивается (штрихпунктирными линиями) на несколько прямоугольников, в каждом из которых имеется не более чем одна линия щелей, и, следовательно, решение в нем можно искать

в рядах по элементам P -систем. В областях, где нет щелей (на фигуре б — ν_5, μ_5), вместо кусочно-однородных решений используются однородные решения.

Пусть $r_k^q(x, y)$ — q -я компонента вектор-функции (1.4), так что $r_k^1 = u_{k1}, \dots, r_k^k = \tau_{xyk1}$. Тогда нетрудно проверить соотношение ортогональности

$$\int_{-\pi}^{\pi} r_k^q(x, l_1) r_n^q(x + \omega, l_2) dx = 0 \quad (q=1, \dots, k; k^2 \neq n^2) \quad (2.1)$$

которое позволяет сопрягать решения на общих границах сдвинутых смежных прямоугольников. На внутренних границах прямоугольников решения сопрягаются при помощи соотношения (2.1) при $\omega=0$.

Заметим, что если щели расположены внутри однородной области (например, $\nu_2 = \nu_1, \mu_2 = \mu_1$ на фигуре б), то число линий сопряжения не уменьшается, но P -система становится проще. Если в прямоугольнике периодов нет щелей, задача решается в замкнутой форме. Подобная задача об изгибе однородной пластинки, лежащей на двоякопериодической системе точечных опор, решена в [15] в эллиптических функциях.

Покажем методику учета сдвига на примере решения простой антиплоской задачи. Пусть упругий прямоугольник периодов $-\pi \leq x \leq \pi, l_1 \leq y \leq l_2$ однороден, не имеет щелей и сдвинут относительно соседнего прямоугольника по x на величину ω . Решение будем искать в виде

$$u_z(x, y) = \sum_{k=-\infty}^{\infty} (T_k e^{ikh} + \bar{T}_k e^{-ikh}) e^{ky} + f_1(x, y)$$

где $f_1(x, y)$ — соответствующее заданной нагрузке на прямоугольник решение периодической с периодом 2π задачи для всей плоскости, T_k — произвольные комплексные постоянные. Для удовлетворения граничным условиям

$$u_z(x, l_1) = u_z(x + \omega, l_2), \quad \tau_{zy}(x, l_1) = \tau_{zy}(x + \omega, l_2)$$

подставим в них решение, умножим обе части полученных равенств на e^{ikh} и интегрируем по x от $-\pi$ до π . Тогда в силу биортогональности систем $\{e^{ikh}\}$ и $\{e^{ih(x+\omega)}\}$ получим систему двух уравнений ($r=1, 2; k=0, 1, \dots; k^0=0$ при $k=0$)

$$\begin{aligned} & k^{r-1} [T_{-k}(e^{-kl_1} - e^{-ik\omega - kl_2}) - (-1)^r \bar{T}_k(e^{kl_1} - e^{-ik\omega + kl_2})] = \\ & = \frac{(-1)^r}{2\pi} \int_{-\pi}^{\pi} [f_r(x, l_1) - f_r(x + \omega, l_2)] e^{ikh} dx, \quad f_2(x, y) = \frac{\partial}{\partial y} f_1(x, y) \end{aligned}$$

Тем же путем в замкнутой форме решаются основные гармонические и бигармонические двоякопериодические задачи для слоистой плоскости.

Рассмотрим более сложную задачу о плоскости, склеенной из чередующихся полос двух видов с упругими постоянными ν_1, μ_1 и ν_2, μ_2 , и ослабленной на линиях раздела материалов (через одну) двоякопериодической системой щелей. На фигуре б соответствующий прямоугольник периодов $-\pi \leq x \leq \pi, l_2 \leq y \leq l_1$ ($l_1 > 0, l_2 < 0$) отмечен фигурной скобкой; в нем N щелей образуют множество L_1 на отрезке $-\pi \leq x \leq \pi, y=0$.

Пусть главный вектор заданных на L_1 напряжений равен нулю, напряжения на бесконечности равны $\sigma_x^0, \sigma_y^0, \tau_{xy}^0$. Тогда граничные условия на

кромках полосы $l_2 \leq y \leq l_1$ примут вид

$$\begin{aligned} (u+iv)(x, l_2) &= (u+iv)(x+\omega, l_1), \quad x \in [-\pi, \pi] \\ (\sigma_y - i\tau_{xy})(x, l_2) &= (\sigma_y - i\tau_{xy})(x+\omega, l_1), \quad x \in [-\pi, \pi] \end{aligned} \quad (2.2)$$

Решение задачи (1.2), (1.17), (2.2) будем искать в рядах

$$u+iv = \sum_{k=-\infty}^{\infty} (u+iv)_k \quad (2.3)$$

сразу удовлетворяя условиям (1.2), (1.17). При этом произвольные постоянные в (1.18) определяются равенствами

$$\sigma_y - i\tau_{xy} = \sigma_y^0 - i\tau_{xy}^0 \quad (y \rightarrow \pm\infty), \quad l_1\sigma_x^\infty - l_2\sigma_x^{-\infty} = \sigma_x^0(l_1 - l_2) \quad (2.4)$$

Удовлетворим условиям (2.2). Подставим разложения (1.22) в ряд (2.3), а затем — в (2.2). В образовавшихся двойных рядах поменяем порядки суммирования, введем новые неизвестные

$$\begin{aligned} X_{k1} &= T_{k1} e^{ikh} e^{kl_1}, \quad X_{k2} = \bar{T}_{k2} e^{ikh} e^{kl_1} \quad (k \geq 1) \\ X_{k1} &= \bar{T}_{k1} e^{kh_2}, \quad X_{k2} = T_{k2} e^{kh_2} \quad (k \leq -1) \end{aligned} \quad (2.5)$$

и умножим полученные равенства на e^{ihx} . Интегрируя по x от $-\pi$ до π и используя соотношение (2.1), получим бесконечную систему алгебраических уравнений относительно неизвестных X_{ks} . После элементарных преобразований из этой системы выделяются конечные соотношения ($s=1, 2$; $k=1, 2, \dots$)

$$\begin{aligned} a_{s1} X_{k1} + a_{s2} X_{k2} + a_{s3} X_{-k1} + a_{s4} X_{-k2} &= w_s \\ a_{s1} &= 1 + \alpha_{s1} e^{-2kl_1} - \psi_s [e^{-2kl_1} + c_1(1-m)] \\ a_{s2} &= 2kl_1 [1 - c_1 \psi_s(1-m)] - 2kl_2 c_2 c_4 m^{2-s}, \quad a_{s3} = m^{2-s} [c_2(1-m) - 4kl_2 e^{2hl_2}] \\ a_{s4} &= -m^{2-s} [\alpha_{s2} + e^{2hl_2} + c_1 c_3 \psi_s + 4k^2 l_2^2 c_2(1-m)] \\ w_s &= r_s + c_1 \psi_s p_{k1} + 2kl_2 c_2 m^{2-s}, \quad \psi_s = (-1)^{s+1} (\alpha_{s1} e^{-kl_1} e^{ih\omega} + m^{2-s} e^{hl_2}) \\ r_1 &= m Q_{k2}^+ - Q_{k1}^- e^{ih\omega}, \quad r_2 = Z_{k2}^+ - Z_{k1}^+ e^{ih\omega}, \quad p_{k1} = m(Q_{k2}^+ - Z_{k2}^+) - e^{ih\omega}(Q_{k1}^+ - mZ_{k1}^+) \\ p_{k2} &= e^{-ih\omega}(Q_{k1}^- - Z_{k1}^-) + mQ_{k2}^- - Z_{k2}^-, \quad \alpha_{1t} = \kappa_t, \quad \alpha_{2t} = 1 \quad (t=1, 2) \end{aligned} \quad (2.6)$$

В результате каждый коэффициент X_{ks} с отрицательным номером k выражается через пару коэффициентов X_{ks} с тем же, но положительным номером k

$$X_{-ks} = \sum_{t=1}^2 \beta_{ts}^k X_{kt} + \rho_{ks}, \quad k=1, 2, \dots \quad (s=1, 2) \quad (2.7)$$

$$\beta_{ts}^k = O(1), \quad \rho_{ks} = O\{\exp(-kl_0)\}, \quad l_0 = \min(l_1 - l_2)$$

и число неизвестных в бесконечной системе уменьшается вдвое. Отделяя затем в ней действительные и мнимые части, получим систему уравнений относительно неизвестных Y_{ks} ($Y_{kj} + iY_{k, j+2} = X_{kj}$, $j=1, 2$):

$$\sum_{t=1}^2 \sum_{n=1}^{\infty} \beta_{nt}^{ks} Y_{nt} = Z_{ks} \quad (s=1, \dots, 4; k=1, 2, \dots) \quad (2.8)$$

$$m_{nr}^{kj} + im_{nr}^{k, j+2} = d_{kr}^j \delta_{nk} - e^{\mp hl_1} \theta_j q_{nr}^j \quad (r, j=1, 2) \quad (2.9)$$

$$m_{n, r+2}^{k, j+2} - im_{n, r+2}^{kj} = \mp d_{kr}^j \delta_{nk} - e^{\mp hl_1} \theta_j q_{n, r+2}^j, \quad \theta_1 = e^{ih\omega}, \quad \theta_2 = 1$$

$$z_{kj} + iz_{k, j+2} = p_{kj} + e^{\mp hl_1} \theta_j \sum_{n=1}^{\infty} q_n^j, \quad q_n^j = e^{nl_2} (\bar{\rho}_{n1} P_{-n1}^{k\pm} + \rho_{n2} P_{-n2}^{k\pm})$$

$$\begin{aligned}
 d_{k1}^1 &= e^{-2kl_1} + c_1(1-m) + c_1c_3\beta_{12}^k, & d_{k2}^1 &= 2kl_1c_1(1-m) + c_1c_3\beta_{22}^k \\
 \bar{d}_{kr}^2 &= c_2c_4\delta_{r1} + \beta_{r2}^ke^{2kl_2} - (1-m)(\beta_{21}^k - 2kl_2\beta_{22}^k) \\
 q_{nr}^j &= P_{nr}^{k\pm} e^{-in\omega} e^{-nl_1} + e^{nl_2}(P_{-n1}^{k\pm}\beta_{r1}^n + P_{-n2}^{k\pm}) \\
 q_{n,r+2}^j &= P_{nr}^{k\pm} e^{-in\omega} e^{-l_1n} + (-1)^r e^{nl_2}(P_{-n1}^{k\pm}\beta_{r1}^n - P_{-n2}^{k\pm}\beta_{r2}^n)
 \end{aligned}$$

где δ_{nh} — символ Кронекера, верхние знаки берутся при $j=1$, нижние — при $j=2$.

В бесконечной системе (2.8) внедиагональные матричные элементы согласно (2.9) экспоненциально убывают по номерам строк и столбцов. Следовательно, система относится к типу нормальных систем Пункаре — Коха [16]. Для таких систем доказано существование и единственность нормального решения, которое можно найти, например, методом редукции. При этом имеет место оценка $Y_{ks} = O[\exp(-kl_0)]$.

ЛИТЕРАТУРА

1. Нуллер Б. М. Контактные задачи для упругого полубесконечного цилиндра. — ПММ, 1970, т. 34, вып. 4, с. 620.
2. Боговой В. Г., Нуллер Б. М. Давление плоского кругового штампа на упругое полупространство с выемкой или включением. — ПММ, 1974, т. 35, вып. 4, с. 669.
3. Нуллер Б. М. О сжатии упругого слоя балочными плитами. — ПММ, 1973, т. 37, вып. 2, с. 364.
4. Глазовский В. Б., Нахмейн Е. Л. Расчет балочных плит, сцепленных с упругим слоем. — Изв. Всес. н.-и. ин-та гидротехн., 1975, т. 108, с. 124.
5. Линьков А. М. Интегральное уравнение плоской задачи теории упругости о двоякопериодической системе разрезов, нагруженных самоуравновешенными нагрузками. — Изв. АН СССР. МТТ, 1976, № 2, с. 70.
6. Дацышин А. П., Саврук М. П. Интегральные уравнения плоской задачи теории трещин. — ПММ, 1974, т. 38, вып. 4, с. 728.
7. Кудрявцев Б. А., Партон В. З. Первая основная задача теории упругости для двоякопериодической системы разрезов. Механика сплошной среды и родственные проблемы анализа. Сб. М.: Наука, 1972, с. 251.
8. Фильштинский Л. А. Взаимодействие двоякопериодической системы прямолинейных трещин в изотропной среде. — ПММ, 1974, т. 38, вып. 5, с. 906.
9. Нахмейн Е. Л., Нуллер Б. М. Об одном методе решения контактных периодических задач для упругой полосы и кольца. — Изв. АН СССР. МТТ, 1976, № 3, с. 53.
10. Нахмейн Е. Л., Нуллер Б. М. Об одном методе решения задач теории упругости для полосы, полуплоскости и плоскости, ослабленных периодическими системами щелей. — Изв. Всес. н.-и. ин-та гидротехн., 1975, т. 107, с. 14.
11. Гахов Ф. Д. Краевые задачи. М.: Физматгиз, 1963. 639 с.
12. Мусхелишвили Н. И. Некоторые основные задачи математической теории упругости. М.: Наука, 1966. 700 с.
13. Арутюнян Н. Х., Мхитарян С. М. Периодическая контактная задача для полуплоскости с упругими накладками. — ПММ, 1969, т. 33, вып. 5, с. 813.
14. Зильбергейт А. С., Нуллер Б. М. Обобщенная ортогональность однородных решений в динамических задачах теории упругости. — Докл. АН СССР, 1977, т. 234, № 2, с. 333.
15. Григолюк Э. И., Фильштинский Л. А. Поперечный изгиб изотропной плоскости, опирающейся на двоякопериодическую систему точечных опор. — Докл. АН СССР, 1964, т. 157, № 6, с. 1316.
16. Каган В. Ф. Основания теории определителей. Одесса: Гос. изд-во Украины, 1922. 521 с.

Поступила в редакцию
15.I.1979